

I-145 非線型有限要素解析に関する2, 3の考察

名古屋大学工学部 正員 川本 肇
○ 中部電力総合技研 正員 宮池克人

1. はじめに

土、コンクリート、岩盤などの材料は、応力-ひずみ関係が線型とみなせる領域は少なく、実際の状態はほとんど非線型的である。鋼材のように材料の性質がほぼ一定で、線型、非線型領域での挙動が明らかとなつていいものについては、材料の非線型性を有限要素法に容易に導入でき、結果の信頼性もある。しかし、土、コンクリート、岩盤などの材料では、材料の性質が一定でなく、応力状態によつてかなり異なる挙動を示すので、それが材料の性質が正しく解析に導入されないと、実際とは異なる結果が得られる可能性がある。このような材料の応力解析に有限要素解析法を適用する場合、大別して次の2つの方法がある。すなわち、材料の非線型性を実験より求め、この結果を用いて非線型解析を行なうものと、塑性論にもとづき塑性域での応力-ひずみ関係を誘導し、これを用いて弾塑性解析を行なうものである。本稿は、実験より求められた材料の応力-ひずみ関係の数式表示を試み、これを用いた非線型解析の結果と、塑性論に基づき誘導された弾塑性マトリックスを用いた初期応力法による解析結果と比較検討し、さらに、数式表示された応力-ひずみ関係を用いた解析法の解の精度を高めるため誘導した修正荷重漸増法について述べたものである。

2. 土、モルタルのような材料の応力-ひずみ関係の数式表示

このような材料の応力-ひずみ関係は応力状態によつて変化するため、従来、平均主応力、最小主応力、最大最小主応力比などをパラメータとして実験結果が整理され、図示されている。このような応力-ひずみ関係の数式化は、有限要素解析を適用する上で考慮されねばならぬことである。(1) 本稿は、モルタル、大理石および片麻岩に対して行なった純三軸圧縮試験の結果から、応力-ひずみ関係として主応力差の半分 $\bar{\sigma} = (\sigma_1 - \sigma_3)/2$ + 主ひずみ差 $\bar{\epsilon} = (\epsilon_1 - \epsilon_3)$ の関係を考之、平均主応力 $\sigma_m = (\sigma_1 + \sigma_3)/2$ をパラメーターとして、Griffith理論を用いた Mohr の破壊条件式 $\sigma^2 = 4\sigma_m(\sigma_t - \sigma)$ を用い、応力-ひずみ関係を数式表示していき。

一方、Duncan は他の三軸圧縮試験から、応力-ひずみ関係として、主応力差 $\sigma_1 - \sigma_3$ と主軸ひずみ ϵ_1 の関係を次式で表わした。

$$(\sigma_1 - \sigma_3) = \epsilon_1 / (a + b \epsilon_1) \quad (1)$$

破壊時の軸差応力 $(\sigma_1 - \sigma_3)_f$ と双曲線の漸近線 $1/b = (\sigma_1 - \sigma_3)_{\text{limit}}$ を、係数 R_f を用いて次のように表わす。

$$(\sigma_1 - \sigma_3)_f = R_f (\sigma_1 - \sigma_3)_{\text{limit}} \quad (2)$$

ここで、 R_f は側圧 σ_3 の大きさにかかる $0.75 \sim 1.0$ の間にあることが明らかにされてい。

また、 $(\sigma_1 - \sigma_3)_f$ は Mohr-Coulomb の破壊条件式より、また、初期弹性係数 $E_i (= 1/a)$ は σ_3 の剛度として与え、結局、土の応力-ひずみ関係を次のようにならべてよい。

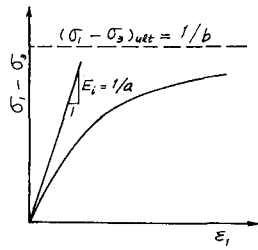


図 - 1

$$(\sigma_i - \sigma_3) = \varepsilon_i / 1/E_i + \varepsilon_i R_f / (\sigma_i - \sigma_3)_f \quad (3)$$

したがって、接線弾性係数 E_t は、最小主応力 σ_3 を一定と仮定すれば、 $E_t = \partial(\sigma_i - \sigma_3)/\partial\varepsilon_i$ で計算される。これに対して、著者らは平面ひずみ状態下におけるモルタルの応力-ひずみ関係を取り扱い、平均主応力 $\sigma_m = (\sigma_1 + \sigma_3)/2$ を一定にして三軸圧縮試験の結果から、(3)のように数式表示を試みた。この手法は Duncan らによるものと同じであるが、異なる点として、a) 初期弾性係数は応力状態によらず一定であること、b) R_f の決定においては Griffith 理論を用いた破壊条件式を適用し、さらに平均主応力 σ_m の関数として表すことをとしたこと、c) 双曲線表示は σ_m の関数としてではなく m と、 $\bar{\sigma} = m\bar{E}/(a + b\bar{E})$ のように導入し、実験結果との近似を向上させることを、などがあげられる。結果だけを示すと次のようである。

$$\bar{\sigma} = m\bar{E}/(1/G_i + R_f\bar{E}/\sigma_f) \quad (4)$$

$$m = -1.135x^3 + 2.557x^2 - 2.182x + 2.047; \quad x = \sigma_m/\sigma_{cr}$$

$$R_f = -0.7 \times 10^{-3}\sigma_m/\sigma_{cr} + 1.025; \quad \sigma_{cr} : \text{モルタルの一軸圧縮強度}$$

3. 弹塑性マトリックスと非線形応力-ひずみ関係

ここでは、上のようないわゆる材料に対する塑性論に基づく諸導出と Drucker らの降伏条件式による弾塑性マトリックスと(4)の初期応力法による解析結果と、Duncan らが示した砂の応力-ひずみ関係の数式表示と(4)の荷重漸増法による解析結果と比較した例を示す。(図-2 は地盤に等分布荷重が作用したときの解析モデルの各種条件を示し、図-3 は、載荷中央点の鉛直変位、図-4 は、載荷面附近の変位、図-5 は載荷面下の要素の荷重増分による応力、ひずみの挙動を、両解析結果を比較して示したものである。以上 3 つの結果より、両解析の結果には 1% 程度の差があることがわかる。これより、Drucker の降伏条件式から誘導された弾塑性マトリックスが、上のようないわゆる材料の力学特性を十分ふりわけ得か、ものと察される。図-6 は初期応力法による荷重増加に対する塑性域の進展状況の解析結果を示し、これと比較する目的で、数式表示された応力-ひずみ関係と表わす曲線の接線弾性係数と、荷重段階 $P/P_{cr} = 1.0$ の段階で、断面 A-A' および B-B' における示す。これによれば、変形係数の著しく低下している要素と、Drucker の降伏条件を満足する要素は一致することが認められる。しかし、これにもかかわらず変形挙動は十分な結果と見ていい。

4. 修正荷重漸増法

一般的荷重漸増法は、荷重増分量の大きさにより解析結果に著しい差の生ずることが認められる。これを除く、この欠点を補い、荷重漸増法の精度を向上させるために導いた修正荷重漸増法と、前節に示した平面ひずみ状態でのモルタルの応力-ひずみ関係の数式表示を用いた解析例によることである。

a) 前段階の荷重増分において収束した応力-ひずみをそれぞれ $\{\sigma_{n,i-1}\}, \{\varepsilon_{n,i-1}\}$ とし、そのときの変位を $\{\delta\}_{n,i-1}$ とする。これより平均主応力差 $\bar{\sigma}_{n,i-1}$ 、主ひずみ差 $\bar{\varepsilon}_{n,i-1}$ を計算し、これと用いて接線せん断弾性係数 $G_{n,i-1}$ を求め、剛性行列を作成し、かく。なお、この剛性行列は一つの荷重増分内では一定である。

b) 荷重増分(外力)による応力-ひずみ増分をそれぞれ $\{\Delta\sigma_n,i\}, \{\Delta\varepsilon_n,i\}$ とし、平均主応

力差増分 $\Delta \bar{\sigma}_{n,i}$ を次式で求めよ。

$$\Delta \bar{\sigma}_{n,i} = (\Delta \bar{\sigma}'_{n,i} - \Delta \bar{\sigma}^2_{n,i})/2 \quad (5)$$

$i = 2$, $\Delta \bar{\sigma}'_{n,i}$ 及び $\Delta \bar{\sigma}^2_{n,i}$ は、 $\{\Delta \sigma_{n,i}\}$ 及び $\{\sigma_{c,i-1}\}$ から求められる。 $\Delta \bar{\sigma}_{a,i}$ を応力-ひずみ関係の非線形性のために生ずる見かけの増分量とするとき、 $\Delta \bar{\sigma}_i$ を真の平均主応力差増分とみなす式が成り立つ。

$$\Delta \bar{\sigma}_{n,i} = \Delta \bar{\sigma}_i + \Delta \bar{\sigma}_{a,i} \quad (6)$$

c) 次式で示されるのは第2段階、 $\{\varepsilon_{c,i}\} = \{\varepsilon_{c,i-1}\} + \{\Delta \varepsilon_{n,i}\}$ より、主ひずみ差 $\bar{\varepsilon}_{c,i}$ は

$$\bar{\varepsilon}_{c,i} = \varepsilon'_{c,i} - \varepsilon^2_{c,i} \quad (7)$$

a) に求められる。 $i = 2$, $\varepsilon'_{c,i}$ 及び $\varepsilon^2_{c,i}$ は $\{\varepsilon_{c,i}\}$ を主ひずみ成分に変換したものである。

見かけの平均主応力差増分 $\Delta \bar{\sigma}_{a,i}$ は、主ひずみ差 $\bar{\varepsilon}_{c,i}$ を用いて次のようすで求められる。

$$\Delta \bar{\sigma}_{a,i} = (\bar{\sigma}_{c,i-1} + \Delta \bar{\sigma}_{n,i}) - \bar{\sigma}(\bar{\varepsilon}_{c,i}, \sigma_p) \quad (8)$$

$i = 1$, $\bar{\sigma}(\bar{\varepsilon}_{c,i}, \sigma_p)$ は、主ひずみ差 $\bar{\varepsilon}$ を独立変数、 σ_p をパラメータとして(3)式を表す。

1) 見かけの平均主応力差増分 $\Delta \bar{\sigma}_{a,i}$ に等価な節点力(等価節点力)を次のように求めよ。

$$\{P_i\}^e = [B]^T \{\Delta \sigma_{a,i}\} d(vol) \quad (9)$$

$i = 1$, $\{\Delta \sigma_{a,i}\}$ は、 $k = \Delta \bar{\sigma}_{a,i} / \Delta \bar{\sigma}_{n,i}$ を用いて、次式で近似するものとする。

$$\{\Delta \sigma_{a,i}\} = k \{\Delta \sigma_{n,i}\} \quad (10)$$

e) 次の反復計算で用いられる力 $\{\sigma_{c,i}\}$ は、次式で近似するものとする。

$$\{\sigma_{c,i}\} = \{\sigma_{c,i-1}\} + (1 - k) \{\Delta \bar{\sigma}_{n,i}\} \quad (11)$$

2) $\{P_i\}^e$ 及び $\{\varepsilon_{c,i}\}$ は c) で求められていく。

f) d) で求めた等価節点力を外力として、b) へ戻り、 $\Delta \bar{\sigma}_{a,i}$ が十分小さくなるまで反復計算する。

g) 各反復での変位増分を $\{\Delta \delta\}_j$ とすれば、N回の反復計算の後の変位 $\{\delta\}_{c,N}$ は、次式で求まる。

$$\{\delta\}_{c,N} = \{\delta\}_{c,i-1} + \sum_{j=1}^N \{\Delta \delta\}_j \quad (12)$$

以上の計算過程を図-7に示す。計算例として図-8に示すモルタルの立方供試体の二元応力状態での変形挙動を取り扱う。初期応力として $\sigma_{x,i} = \sigma_{y,i} = 0.75 \sigma_{cr}$ を生ずるよる初期荷重をあらかじめ与え、荷重増分として $\Delta P_y = -\Delta P_x$ とするととき、 P_y の載荷面における鉛直変位 S_y を図-9に示す。これによれば、荷重漸増法による結果は、荷重増分量を小さくするに従って修正荷重漸増法の結果へ収束する傾向が認められる。また、荷重漸増法による結果は、荷重増分量により著しく異なることが認められる。

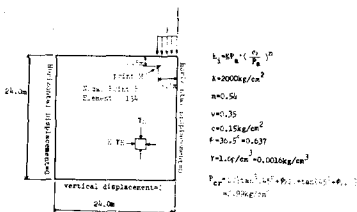


図-2

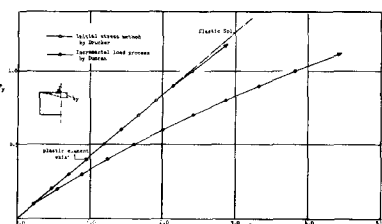


図-3

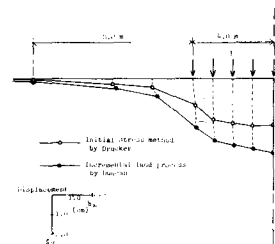


図-4

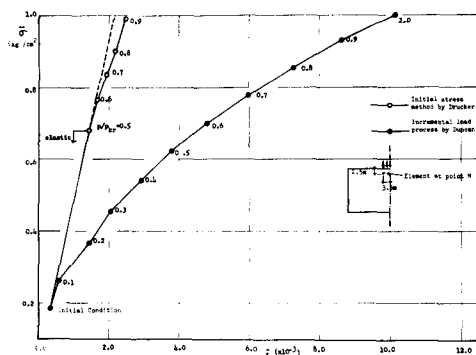


图 - 5

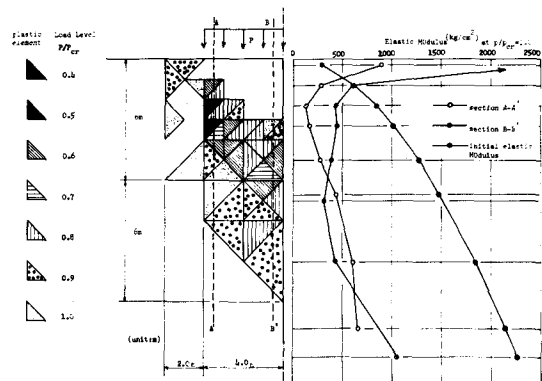


图 - 6

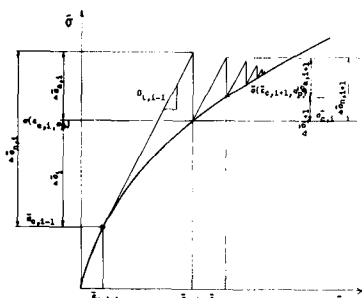


图 - 7

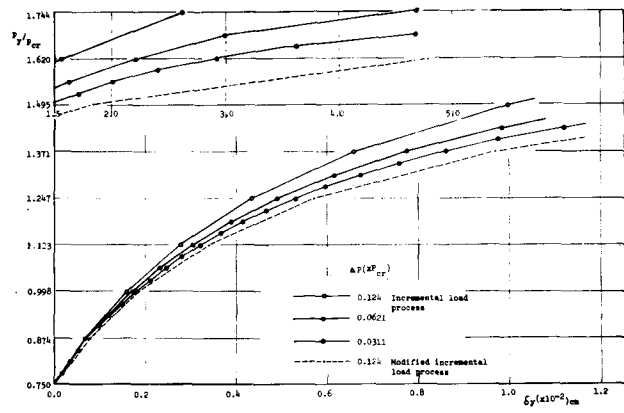


图 - 8

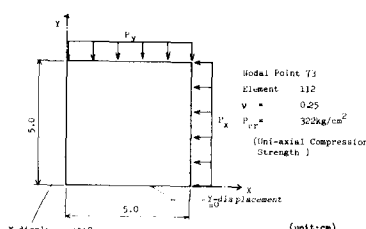


图 - 9

参考文献

- 1) O.C. Zienkiewicz et al : Elastic-Plastic Solutions of Engineering Problems "Initial Stress," Finite Element Approach, Int. J. for Numerical Methods in Engineering, 1 (1969), pp. 75-100.
- 2) 松本昌胤, 田中年助 : 立坑底部周辺の応力・変位状態 I=II (第2報) 非線形解析, 日本鉄鋼会議, 86, 981 (1970), pp. 1~8.
- 3) J.M. Duncan and C.Y. Chang : Nonlinear Analysis of Stress and Strain in Soils, ASCE, SM 5 (1970), pp. 1629 - 1653.